

Д. Н. Кузнецов*, А. Г. Ручкина, К. И. Кобрakov

**СИНТЕЗ 1-АРИЛ(ГЕТАРИЛ)ПИРАЗОЛ-5-ОЛОВ
И АЗОПИРАЗОЛОВ НА ИХ ОСНОВЕ**

Взаимодействием 3,5-дихлорпирид-2-илгидразина, моно- и динитрофенилгидразинов с ацетоуксусным эфиром получены гидразоны и продукты их циклизации — пиразололы. Показано, что 2,4-динитрофенилгидразон ацетоуксусного эфира циклизуется в пиразолол только под действием ПФК, в то время как другие изученные гидразоны в этих условиях осмоляются. Продукты азосочетания пиразололов с солями 2-гидрокси-3-нитро-4-сульфофенилдиазония или 2-гидрокси-5-нитрофенилдиазония способны окрашивать текстильные материалы. Исследована фунгицидная активность синтезированных соединений.

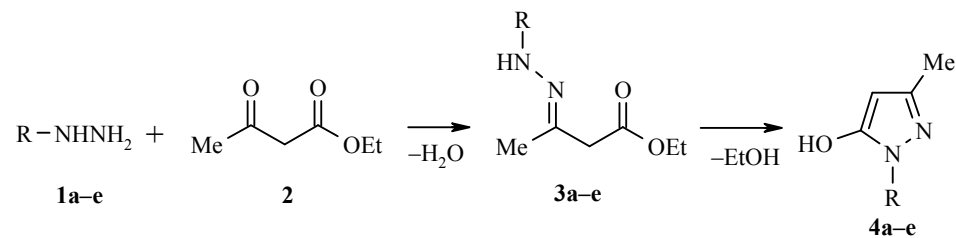
Ключевые слова: азопиразолы, ацетоуксусный эфир, гидразоны, 3,5-дихлорпирид-2-илгидразин, моно- и динитрофенилгидразин, пиразол-5-олы, биологическая активность, колорирование.

Анализ литературных источников, выполненный нами по базе данных CAS, доступной через STN, показал, что интерес к синтезу и исследованию свойств производных пиразола держится на стабильно высоком уровне, причём в последние 20 лет прослеживается даже тенденция роста количества публикаций и отмечается выраженный скачок числа патентов — до 30–35 патентов в год [1, 2].

Отмеченный факт объясняется тем, что среди производных пиразола известны химические средства защиты растений, химико-фармацевтические препараты, антиоксиданты, реагенты для химического анализа и органического синтеза, красители и пигменты.

В настоящей работе мы синтезировали ряд производных пиразол-5-олов, содержащих в положение 1 заместители, способные к дальнейшим химическим трансформациям, и азопиразолов на их основе.

Одним из наиболее удобных и широко используемых способов получения пиразол-5-олов является гетероциклизация замещённых гидразинов с ацетоуксусным эфиром [3], причём известно, что процесс можно проводить как с выделением, так и без выделения гидразонов **3**.



**1,3,4 a R = Ph, b R = 4-нитрофенил, c R = 2,4-динитрофенил,
d R = 2-метокси-5-нитрофенил, e R = 3,5-дихлорпиридин-2-ил**

С целью изучения влияния строения заместителя в арилгидразине на ход циклизации и строения радикала в положении 1 пиразола на свойства целевых азопиразолов как потенциальных азокрасителей, мы выбрали гидразины **1a–e** в качестве модельных в реакции с эфиром **2**.

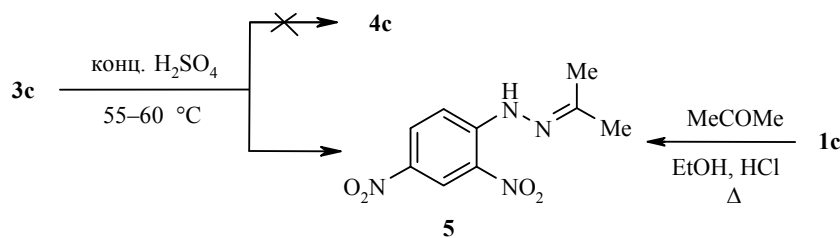
Синтез соединений **4a** и **4b** хорошо изучен и основан на проведении одностадийного процесса без выделения промежуточных гидразонов **3a** и **3b**. Реакцию проводят нагреванием реагентов в водной или водно-спиртовой среде при pH 5.5–6.8 в течение 3 ч [3, 4].

Аналогично кипячением эквимольных количеств гидразина **1e** и ацетоуксусного эфира (**2**) в этаноле в присутствии конц. HCl в течение 8 ч был получен 1-(3,5-дихлорпирид-2-ил)-3-метил-1Н-пиразол-5-ол (**4e**). В этом случае существенное увеличение времени реакции свидетельствует об относительно низкой реакционной способности гидразина **1e** в изученной конденсации [5].

В литературе имеется противоречивая информация о получении 1-(2,4-динитрофенил)-3-метил-1Н-пиразол-5-ола (**4c**). Так, в работах [6, 7] описано получение соединения с т. пл. 93–93.5 °C при кипячении ацетоуксусного эфира **2** и гидразина **1c** в метаноле в присутствии соляной кислоты, которому авторы приписали строение пиразола **4c**. По описанной в этих работах методике мы также с выходом 95% получили вещество, имеющее т. пл. 93 °C. Однако данные спектроскопии ЯМР ¹H и элементного анализа позволили нам сделать вывод, что выделенное соединение является не пиразолом, а гидразоном **3c**, описанным в работе [8]. Спектральные данные и данные элементного анализа синтезированного гидразона **3c** приведены в экспериментальной части.

По методике, предложенной Хромовым-Борисовым, при нагревании 2,4-динитрофенилгидразона ацетоуксусного эфира **3c** в конц. H₂SO₄ вместо пиразола **4c**, как предполагал автор работы [8], образуется соединение **5** (выход 40%, т. пл. 121–122 °C), которое является продуктом кислотного расщепления гидразона **3c**.

Для доказательства строения полученного соединения, кроме использования спектральных данных и данных элементного анализа, мы получили его встречным синтезом. Таким образом, мы подтвердили выводы авторов работы [9] о невозможности получения пиразола **4c** по методу Хромова-Борисова.



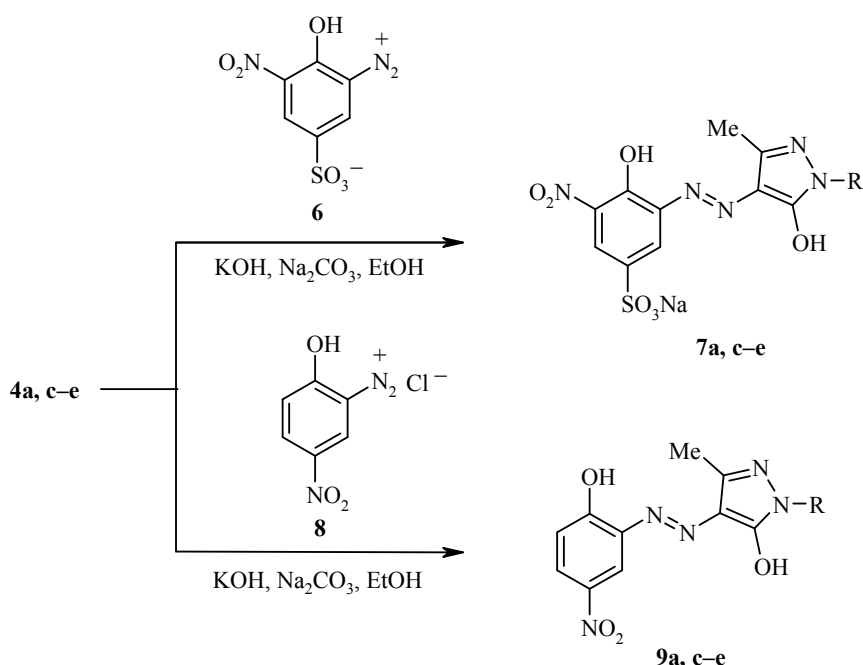
Неудачными оказались также наши попытки циклизации гидразона **3c** в спиртовой среде с добавлением каталитических количеств водных растворов NaOH, HCl или AcOH. Во всех изученных случаях из реакции вернулись исходные соединения.

Циклизацию гидразона **3c** в пиразолол **4c** удалось осуществить в ПФК при 100 °C в течение 40 мин с выходом 76%. Характеристики полученного пиразолона **4c** полностью совпадают с константами 1-(2,4-динитрофенил)-3-метил-1Н-пиразол-5-ола, полученного ранее другим способом [10].

Замена одной нитрогруппы на метоксигруппу в фенильном радикале (гидразин **1d**) позволила нам успешно провести синтез пиразолола **4d** как в одну, так и в две стадии. Так, кратковременное (5 мин) кипячение эквимольных количеств гидразина **1d** и ацетоуксусного эфира **2** в этаноле в присутствии следов соляной кислоты приводит к образованию с практическими количественными выходами гидразона **3d**. При использовании вместо гидразина **1d** его солянокислой соли реакция идет без дополнительного добавления соляной кислоты. Циклизация гидразона **3d** в пиразолол **4d** протекает при кипячении в спирте в течение 3 ч только в присутствии соляной кислоты. Использование в качестве конденсирующего реагента ПФК приводит к осмолению исходного гидразона **3d**. Пиразолол **4d** можно получить в одну стадию из гидразина **1d** и ацетоуксусного эфира **2** кипячением (3 ч) в присутствии соляной кислоты.

Из синтезированных пиразололов **4a,c–e** получены азопиразолы **7** и **9**, строение которых позволяет оценивать их как потенциальные кислотные (соединения **7a,c–e**) и дисперсные (соединения **9a,c–e**) азокрасители для крашения шерсти и поликапроамида соответственно.

Азопиразолы синтезированы по стандартной методике реакцией азосочетания пиразололов **4a,c–e** с солями диазония **6** и **8**.



**4,7,9 a R = Ph, c R = 2,4-динитрофенил, d R = 2-метокси-5-нитрофенил,
e R = 3,5-дихлорпирид-2-ил**

Т а б л и ц а 1
Характеристики азопиразолов **7a,c–e** и **9a,c–e**

Соединение	Т. пл., °C	R_f^*	ИК спектр, $\nu, \text{см}^{-1}$	УФ спектр, $\lambda_{\max}, \text{нм}$ ($\lg \varepsilon$)**	Выход***, %
7a	—	0.76	3600–3300, 1536, 1324, 1264, 1188, 1044, 640	496.0 (4.21)	90
7c	—	0.79	1608, 1540, 1348, 1208, 1052	504.0 (4.24)	83
7d	—	0.71	1504, 1344, 1252, 1208, 1180	498.0 (2.84)	76
7e	—	0.63	3600–3400, 1516, 1324, 1260, 1220, 1188, 1044, 608	500.0 (3.86)	80
9a	330	0.69	3300–3000, 1540, 1488, 1344, 1280, 1232, 1160, 1044	409.8 (3.78)	85
9c	170	0.66	1604, 1536, 1344, 1304, 1160, 832	419.4 (4.18)	89
9d	185	0.54	—	417.2 (3.97)	80
9e	350	0.63	1532, 1504, 1448, 1344, 1308, 1084, 744	426.6 (3.75)	80

* Система растворителей: вода–25% раствор NH_4OH –этанол, 1:1:1 (**7a,c–e**), этилацетат (**9a,c–e**).

** Спектры азосоединений **7a,c–e** записаны в воде; **9a,c–e** – в этаноле.

*** Выход неочищенных красителей.

В электронных спектрах поглощения красителей наблюдается сдвиг λ_{\max} в длинноволновую часть спектра относительно исходных компонентов. Так, максимум поглощения синтезированных красителей лежит в области от 390 до 550 нм в отличие от исходных диазо- и азокомпонентов, максимум поглощения которых находится в интервале 230–370 нм.

Образцы шерстяной и поликапроамидной ткани, окрашенные, соответственно, кислотными **7a,c–e** и дисперсными **9a,c–e** красителями, имеют красно-коричневый цвет и хорошую (4–5 баллов) устойчивость к сухим и мокрым обработкам.

Испытания образцов, окрашенных синтезированными азопиразолами, к действию света показали результаты на уровне 2–4 балла.

Ряд синтезированных в работе соединений (**3c,d**, **4c–e**, **7c,d**, **9a,c–e**) исследованы на активность по отношению к микромицетам, наиболее часто встречающимся на текстильных материалах и вызывающим как механические, так и химические разрушения волокон [11].

Методика проведения испытаний приведена в экспериментальной части.

Недостаточный массив испытанных образцов не позволяет сделать

однозначных выводов о влиянии строения изученных соединений на их фунгицидную активность. Среди испытанных соединений только гидразон **3c** проявил нулевую активность относительно всех тест-объектов при концентрациях 0.1 и 1.0%. Остальные исследованные соединения оказались среднеактивными (40–60%) относительно развития грибка *Aspergillus niger* (*v. Teigh*). По отношению к другим тест-объектам активность изученных соединений была низкой (0–20%) за исключением пиразола **4e**, который активен и относительно грибков *Aspergillus flavus* (*Link Fr.*) и *Penicillium chrysogenum* (*Thom*). Переход от гидразона **3c** к пиразолу **4c** и азопиразолу **9c** сопровождается увеличением активности (от 0 до 40–60%). В ряду азокрасителей **9** наибольшую активность имеет соединение **9c** (60%), содержащее в положении 1 2,4-динитрофенильный заместитель; замена одной нитрогруппы на метоксигруппу приводит к потере активности – **9d** (0–20%); уменьшается активность также при замене 2,4-динитрофенильного радикала на 3,5-дихлорпирид-2-ильный – **9e** (20–40%) или фенильный радикал – **9a** (20–40%).

ЭКСПЕРИМЕНТАЛЬНАЯ ЧАСТЬ

ИК спектры записаны на спектрометре Specord M80-2 в таблетках КВг с использованием призмы КВг в интервале частот 600–3800 cm^{-1} . Электронные спектры поглощения растворов в воде и этаноле (соединения **3c**, **4c–e**) с $c = 1 \cdot 10^{-4}$ моль/л получены на приборе Specord M-40, толщина слоя 0.5–1.0 см. Спектры ЯМР ^1H зарегистрированы на спектрометре Bruker AC-200 (200 Гц) в DMSO-d_6 (соединения **3c,d**, **4c,d** и **5**) и CDCl_3 (соединение **4e**), внутренний стандарт ТМС, при 22–24 °C. Элементный анализ проводился с помощью прибора Carlo Erba-110, контроль за ходом реакций и чистотой полученных соединений – с помощью ТСХ на пластинках Silufol UV-254.

В работе использованы солянокислые гидразины **1a–c** марки х. ч., фирмы Acros Organics. Гидразины **1d,e** синтезированы по методикам [12, 13].

3-Метил-1-фенил-1Н-пиразол-5-ол (4a) и **3-метил-1-(4-нитрофенил)-1Н-пиразол-5-ол (4b)** синтезированы по методикам [3, 4].

2-Гидрокси-3-нитро-4-сульфофенилдиазоний (6) и **2-гидрокси-5-нитрофенилдиазонийхлорид (8)** синтезируют по методике [14].

2,4-Динитрофенилгидразон ацетоуксусного эфира (3c) [5]. Смесь 1.98 г (10 ммоль) гидразина **1c**, 1.3 г (10 ммоль) ацетоуксусного эфира с добавлением конц. HCl в MeOH кипятят 3 ч. После охлаждения реакционной массы выпадает ярко-жёлтый осадок. Выход гидразона 3.0 г (95%), т. пл. 93 °C (из спирта), R_f 0.15 (хлороформ–бензол, 1:1). УФ спектр, λ_{max} нм ($\lg \epsilon$): 354.1 (4.29). Спектр ЯМР ^1H , δ , м. д. (J , Гц): 1.35 (3H, т, $J = 6.9$, CH_3); 2.20 (3H, с, CH_3); 3.55 (2H, с, CH_2); 4.15 (2H, к, $J = 6.9$, CH_2); 7.80 (1H, д, $J = 5.8$, H-6); 8.40 (1H, д, $J = 5.8$, H-5); 8.91 (1H, с, H-3); 10.80 (1H, с, NH). Найдено, %: C 45.95; H 4.37; N 17.93. $\text{C}_{12}\text{H}_{14}\text{N}_4\text{O}_6$. Вычислено, %: C 46.45; H 4.55; N 18.06.

2,4-Динитрофенилгидразон ацетона (5) [7, 8]. Раствор 1.55 г (5 ммоль) гидразона **3c** в 22.8 г (224 ммоль) конц. H_2SO_4 нагревают 1 ч при 55–60 °C, охлаждают и выливают в 300 мл воды, нейтрализуют до pH 6–7, при этом выделяется жёлтый осадок. Выход 0.5 г (40%), т. пл. 121–122 °C (из спирта), R_f 0.23 (хлороформ–бензол, 1:1). Спектр ЯМР ^1H , δ , м. д. (J , Гц): 2.10 (6H, с, 2CH_3); 7.80 (1H, д, $J = 5.8$, H-6); 8.40 (1H, д, $J = 5.8$, H-5); 8.91 (1H, с, H-3); 10.80 (1H, с, NH). Найдено, %: C 45.29; H 4.13; N 23.24. $\text{C}_9\text{H}_{10}\text{N}_4\text{O}_4$. Вычислено, %:

С 45.38; Н 4.23; N 23.52.

1-(2,4-Динитрофенил)-3-метил-1Н-пиразол-5-ол (4с). Смесь 3.48 г (11 ммоль) гидразона **3с**, 31.6 г ПФК нагревают 40 мин при 100 °C. Затем горячую смесь выливают при интенсивном перемешивании в 40 мл воды со льдом, при этом образуется светло-жёлтый осадок. Выход 2.2 г (76%), т. пл. 160 °C (из спирта), R_f 0.43 (хлороформ). УФ спектр, λ_{max} , нм ($lg \varepsilon$): 311.7 (3.86). Спектр ЯМР ^1H , δ, м. д. (J , Гц): 2.18 (3H, с, CH_3); 5.40 (1H, с, H-4 пиразолола); 7.80 (1H, д, J = 5.8, H-6 Ar); 8.40 (1H, д, J = 5.8, H-5 Ar); 8.91 (1H, с, H-3 Ar); 12.20 (1H, с, OH). Найдено, %: C 45.18; H 3.01; N 21.0. $\text{C}_{10}\text{H}_8\text{N}_4\text{O}_5$. Вычислено, %: C 45.46; H 3.05; N 21.2.

2-Метокси-5-нитрофенилгидразон ацетоуксусного эфира (3d). Смесь 0.91 г (5 ммоль) гидразина **1d**, 0.64 г (5 ммоль) ацетоуксусного эфира в 10 мл этанола кипятят 10 мин с добавлением конц. HCl. После охлаждения реакционной массы выпадает жёлтый осадок. Выход 1.32 г (90%), т. пл. 125 °C (из спирта), R_f 0.31 (хлороформ). Спектр ЯМР ^1H , δ, м. д. (J , Гц): 1.35 (3H, т, J = 6.9, CH_3); 2.20 (3H, с, CH_3); 3.40 (2H, с, CH_2); 3.95 (3H, с, OCH_3); 4.15 (2H, к, J = 6.9, CH_2); 7.20 (1H, д, J = 9.1, H-3); 7.70 (1H, д, J = 9.1, H-4); 8.20 (1H, с, H-6). Найдено, %: C 52.54; H 5.57; N 14.10. $\text{C}_{10}\text{H}_8\text{N}_4\text{O}_5$. Вычислено, %: C 52.88; H 5.80; N 14.23.

3-Метил-1-(2-метокси-5-нитрофенил)-1Н-пиразол-5-ол (4d). Раствор 0.5 г (2 ммоль) гидразона **3d** в 20 мл этанола кипятят 3 ч с добавлением конц. HCl. После удаления растворителя получают пиразолон **4d** в виде желтоватого масла. Выход 0.42 г (86%), R_f 0.16 (гексан–бензол–метанол, 5:1:1) УФ спектр, λ_{max} , нм ($lg \varepsilon$): 221.6 (4.00), 246.5 (3.93), 295.5 (3.86). Спектр ЯМР ^1H , δ, м. д. (J , Гц): 2.20 (3H, с, CH_3); 3.90 (3H, с, OCH_3); 5.60 (1H, с, H-4 пиразолола); 7.20 (1H, д, J = 9.1, H-3 Ar); 7.70 (1H, д, J = 9.1, H-4 Ar); 8.00 (1H, с, H-6 Ar); 12.20 (1H, с, OH). Найдено, %: C 52.94; H 4.57; N 16.97. $\text{C}_{11}\text{H}_{11}\text{N}_3\text{O}_4$. Вычислено, %: C 53.01; H 4.45; N 16.86.

1-(3,5-Дихлорпиридин-2-ил)-3-метил-1Н-пиразол-5-ол (4e). Смесь 1.79 г (10 ммоль) гидразина **1e**, 1.28 г (10 ммоль) ацетоуксусного эфира и несколько капель конц. HCl в 15 мл этанола кипятят 15 ч и упаривают досуха в вакууме. Остаток обрабатывают 15 мл 5% раствора NaOH, экстрагируют эфиrom (2 × 20 мл), экстракт сушат MgSO_4 . Растворитель удаляют в вакууме. Полученное вещество представляет собой вязкое масло тёмно-жёлтого цвета, кристаллизующееся при затирании и длительном выдерживании при -15 °C, растворимо в этаноле. Выход 2.0 г (85%), т. пл. 40–42 °C, R_f 0.74 (бензол–метанол, 20:1). УФ спектр, λ_{max} , нм ($lg \varepsilon$): 322.8 (3.81). Спектр ЯМР ^1H , δ, м. д. (J , Гц): 1.97 (3H, с, 3- CH_3); 2.88 (1H, с, H-4 пиразолола); 7.74 (1H, д, J = 2.4, H-4 пиридина); 7.90 (1H, д, J = 2.4, H-6 пиридина). Найдено, %: C 44.37; H 2.91; N 17.60. $\text{C}_9\text{H}_7\text{Cl}_2\text{N}_3\text{O}$. Вычислено, %: C 44.26; H 2.87; N 17.21.

Азопиразолы 7а,с–е. Азокомпонент готовят растворением 3.24 г (18.6 ммоль) пиразолола **4а** в 20 мл воды или соединений **4с–е** в 15 мл этанола при 80 °C в присутствии 0.74 г (18.6 ммоль) NaOH и 1.97 г (18.6 ммоль) Na_2CO_3 . Азосочетание ведут при температуре 5–10 °C, постепенно добавляя в течение 25 мин раствор диазокомпонента **6** к раствору азокомпонента при постоянном перемешивании. После добавления всего раствора диазокомпонента реакционную массу перемешивают 1 ч–1 ч 30 мин при температуре 20–25 °C. Полученный краситель либо отфильтровывают, либо высаливают твёрдым NaCl.

Азопиразолы 9а,с–е. Азокомпонент готовят растворением 1.83 г (10 ммоль) пиразолола **4а** в 20 мл воды или соединений **4с–е** в 15 мл этанола при 80 °C к полученному раствору добавляют 0.43 г (10 ммоль) NaOH и 2 г (24 ммоль) AcONa и охлаждают до 5 °C. При температуре 5–10 °C к реакционной массе прибавляют в течение 15–20 мин суспензию диазосоединения **8**. При прибавлении диазокомпонента необходимо всё время поддерживать щёлочную среду с

Таблица 2

Зависимость развития тест-культур от активности фунгицидов

Фунгицидная активность, %	Характеристика развития тест-культур, балл
0	Обильный рост мицелия, спороношение есть, 5
20	Ограниченнный рост мицелия, подавленное спороношение, 4
40	Подавленный рост мицелия, 3
60	Паутинистый мицелий, 2
80	Полное подавление роста, 1
100	Полное подавление роста, образование зоны подавления роста, 0

помощью 10% раствора NaOH. Реакционную смесь перемешивают 1 ч 30 мин–2 ч. при температуре 20–25 °C. После завершения реакции азосочетания полученный раствор подкисляют (до pH 5–6) и отфильтровывают образовавшийся осадок.

Крашение образцов шерстяного и поликапронамидного волокна азопиразолами 7а,с–е и 9а,с–е соответственно. Крашение шерстяного и поликапронамидного волокна проводят по методике крашения кислотными и дисперсными красителями соответственно [15].

Устойчивость окраски образцов к сухому и мокрому трению, мокрым обработкам оценивалась по пятибалльной системе, к действию света по восьмибалльной системе в соответствии с ГОСТ (ГОСТ 9733.27-83, ГОСТ 9733.4-83 и ГОСТ 9733.0-83) [16].

Испытания на фунгицидную активность проведены в биологической лаборатории ГосНИИР по ГОСТ 9.048-75 [11].

В качестве тест-культур использовали микромицеты: *Aspergillus niger*, *Aspergillus flavus*, *Penicillium chrysogenum*, *Ulocladium ilicis* (бывшее название *Stemphylium ilicis*).

Данные виды грибков были выбраны потому, что представители рода *Aspergillus niger* среди несовершенных грибков по активности биохимического повреждения текстиля стоят на первом месте. Конидии *Aspergillus niger* могут вызывать гибель микромицетов – конкурентов за субстрат. Известно также, что зародыши мицелия *Aspergillus niger* способны выживать в условиях, когда мицелии других видов грибков оказываются уязвимыми и отмирают, кроме того, они очень удобны для микроскопирования. Изменения, обнаруженные при росте других тест-культур в присутствии синтезированных красителей, рассматривали как дополнительную информацию о свойствах испытываемых веществ и биохимических особенностях развития микромицетов.

Биологические испытания соединений проводили методом "дисков". Контролем служили тест-культуры, выращенные в таких же условиях, но без добавления испытуемых соединений. На третий сутки оценивали характер роста грибков по шестибалльной системе в соответствии с процентными показателями торможения роста (табл. 2).

СПИСОК ЛИТЕРАТУРЫ

1. The Scientific and Technical Information Network; <http://www.stn-international.de>
 2. Target Your Searching with CAS Roles; STNotes, December 2001, No. 5 Revised.
<http://www.cas.org/ONLINE/STN/STNOTES/stnotes5.pdf>
 3. Л. Н. Николенко, *Лабораторный практикум по промежуточным продуктам*

- и красителям*, Высшая школа, Москва, 1965, с. 143.
4. Y. Tagawa, S. Minami, T. Yoshida, K. Tanaka, S. Sato, Y. Goto, K. Yamagata, *Arch. Pharm.*, **335**, 99 (2002).
 5. К. И. Кобрakov, И. И. Рыбина, В. И. Келарев, В. К. Королев, *XГС*, 877 (2003). [*Chem. Heterocycl. Comp.*, **39**, 749 (2003)].
 6. Z. Chao, *J. Nat. Sci.*, No. 2, 35 (1959); *Chem. Abstr.*, **59**, 2795 (1963).
 7. B. S. Holla, B. Kalluraya, *Rev. Roum. Chim.*, **37**, 10 (1992).
 8. Н. В. Хромов-Борисов, *ЖХХ*, **25**, 136 (1955); *Chem. Abstr.*, **49**, 8257 (1955).
 9. P. A. Clarke, C. R. Limon, *Chem. Ind.*, **36**, 1562 (1965).
 10. J. M. Lindley, M. McRobbie, O. Meth-Cohn, H. Suschitzky, *J. Chem. Soc., Perkin Trans. I*, 982 (1980).
 11. ГОСТ 9.048–75 "Изделия технические. Метод испытаний на стойкость к воздействию плесневых грибов", Изд-во стандартов, Москва, 1977.
 12. М.-Г. А. Швехгеймер, К. И. Кобрakov, С. С. Сычев, В. К. Промоненков, Авт. свид. SU 1182035 А (1985). <http://ep.espacenet.com>
 13. М.-Г. А. Швехгеймер, К. И. Кобрakov, С. С. Сычев, В. К. Промоненков, Авт. свид. SU 1325045A1 (1987). <http://ep.espacenet.com>
 14. Г. С. Станкевич, Т. И. Яковенко, *Лабораторный практикум по курсу "Химия красителей и текстильно-вспомогательных веществ"*, РИО МГТУ, Москва, 2001, с. 60.
 15. Н. Е. Булушева, *Базовый лабораторный практикум по химической технологии волокнистых материалов*, РИО МГТУ, Москва, 2000, с. 138.
 16. ГОСТы: 9733.27–83, 9733.4–83. Методы испытаний устойчивости окрасок к физико-химическим воздействиям, Изд-во стандартов, Москва, 1985.

Московский государственный текстильный
университет им. А. Н. Косыгина,
ул. Малая Калужская, 1, Москва 119071, Россия
e-mail: kki@staff.msta.ac.ru

Поступило 16.10.2009
После доработки 01.04.2011